Показано, что при дозе  $\Phi = 2 \cdot 10^{14} \text{ см}^{-2}$  абсолютное значение  $\beta < 70$  выходит за нормы технических условий для всех исследуемых транзисторов.

## Литература

- 1. *Ермаков С. Ф., Минин В. Е., Гаврилов Г. С.* Биполярные транзисторы. Гомель. 2008. 72 с.
- 2. Тогатов В. В. Биполярные транзисторы. Санкт-Петербург. 2004. 43 с.
- 3. Измеритель параметров полупроводниковых приборов ИППП-1\6, руководство по эксплуатации, УШЯИ.411251.003 РЭ. 40 с.
- 4. *Вавилов В. С., Киселев В. Ф., Мукашев Б. Н.* Дефекты в кремнии и на его поверхности. М. 1990. 216 с.
- 5. *Коршунов Ф. П., Гатальский Г. В., Иванов Г. М.* Радиационные эффекты в полупроводниковых приборах. Мн. Наука и техника. 1978 г. 231 с.

## МОДЕЛИРОВАНИЕ ПРОЦЕССА ОБЕССОЛИВАНИЯ ВОДЫ ДЛЯ АЭС И КОНТРОЛЬ ЕЕ КАЧЕСТВА МЕТОДОМ ИОННОЙ ХРОМАТОГРАФИИ

## Е. С. Орлова

### **ВВЕДЕНИЕ**

В настоящее время одним из наиболее распространенных типов реакторов являются реакторы ВВЭР, в которых от качества воды как основной технологической среды во многом зависит безопасность работы атомной электростанции. Природная вода из поверхностных или подземных источников не может быть непосредственно использована для целей энергетики. Основной причиной является высокое содержание в ней ионов, которые при попадании в технологический контур АЭС приводят к сильному снижению срока эксплуатации оборудования, увеличению частоты и сроков проводимого ремонта, увеличению вероятности аварийных ситуаций, возрастанию экономических затрат, что в конечном счете может сделать вырабатываемую энергию в разы дороже. Вследствие этого необходима очистка природной воды с целью получения химически обессоленной воды, соответствующей необходимым нормам и требованиям [1]. При этом выбор и разработка схем очистки во многом зависит от данных, полученных при проведении химикоаналитического контроля воды.

С целью оценки химического состава воды применяется большое количество методов анализа, включая титриметрический, потенциометрический, кондуктометрический, турбидиметрический, методы атомноадсорбционной и атомно-эмиссионной спектрофотометрии и др. [2].

Особенностью аналитического контроля технологических сред на АЭС является необходимость определять содержание аналитов на уровне чрезвычайно низких концентраций — единиц мкг/дм<sup>3</sup>. В настоящее время для химико-аналитического контроля воды используют метод ионной хроматографии, который отвечает этим требованиям и позволяет за короткий промежуток времени провести качественный и количественный анализ основных ионов, содержащихся в природной воде [3].

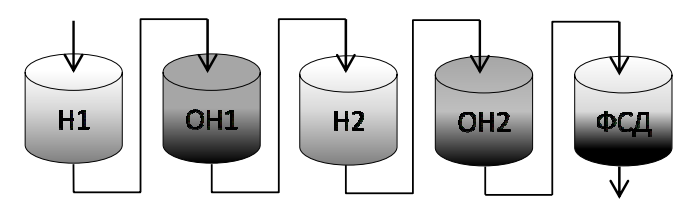
Цель работы: изучение технологического процесса химического обессоливания воды путем моделирования трехступенчатой схемы ионирования с последующим контролем качества воды методом ионной хроматографии.

#### ЭКСПЕРИМЕНТАЛЬНАЯ ЧАСТЬ

В качестве объекта исследования была выбрана вода реки Вилии. Отбор проб осуществлялся в соответствии с СТБ ГОСТ Р 51592-2001 и проводился в Сморгонском районе Гродненской области в октябре 2015 г. Оценку ионного состава воды проводили с помощью ионного хроматографа 850 Professional IC AnCat фирмы «Меtrohm». Разделение анионов осуществляли на колонке Metrosep A Supp 7 – 250/C4, заполненной поливиниловым спиртом с четвертичными аммониевыми группами, а катионов — на колонке Metrosep C4 - 250/4.0, заполненной силикагелем с карбоксильными группами. В качестве элюента для разделения катионов использовали раствор азотной кислоты 2,5 ммоль/дм<sup>3</sup>, а для разделения анионов – раствор карбоната натрия 6,4 ммоль/дм<sup>3</sup> и бикарбоната натрия 2,0 ммоль/дм3. Детектирование осуществлялось кондуктометрическим детектором 850 iDetector, обработка пиков производилась при помощи программного пакета MagIC Net<sup>TM</sup>. Калибровку хроматографа осуществляли с помощью стандартных растворов фирмы «Fluka», содержащих анионы F<sup>-</sup>, Cl<sup>-</sup>, Br<sup>-</sup>, NO<sub>3</sub><sup>-</sup>, SO<sub>4</sub><sup>2-</sup>, PO<sub>4</sub><sup>3-</sup> и катионы  $Li^+$ ,  $Na^+$ ,  $K^+$ ,  $Mg^{2+}$ ,  $Ca^{2+}$ . Для приготовления всех растворов была испольудельным деионизированная сопротивлением зована вода 0,055 мкСм/см, прибор для получения которой использовали Siemens Ultra Clear TWR Series.

Для изготовления ионообменных колонок использовали катионит КУ-2-8 ЧС в Н-форме и анионит АВ-17-8 ЧС в ОН-форме. Для проведения эксперимента были изготовлены 5 колонок высотой 47 мм и диаметром 30 мм каждая, пятая колонка моделировала фильтр смешанного действия (ФСД). Колонка ФСД была загружена смешанной шихтой в соотношении катионита к аниониту 1:2. Затем составлялась схема обессоливания (рис. 1), через которую пропускалась природная вода со ско-

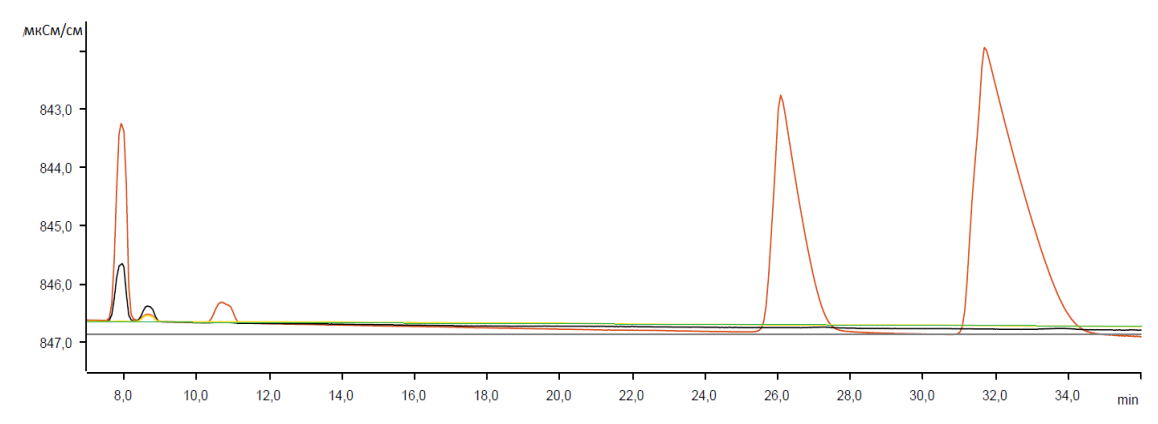
ростью 1 мл/мин. Процесс трехступенчатого обессоливания природной воды смоделирован на основе второй стадии химводоочистки (ХВО) АЭС по схеме H1-OH1-H2-OH2-ФСД, аналогичной схемам ХВО Южно-Украинской и Калининской АЭС [4, 5].



 $Puc.\ 1.\$ Экспериментальная схема обессоливания природной воды: H1 — катионитный фильтр 1-ой ступени; OH1 — анионитный фильтр 1-ой ступени; H2 — катионитный фильтр 2-ой ступени; OH2 — анионитный фильтр 2-ой ступени;  $\Phi$ CД — фильтр смешанного действия

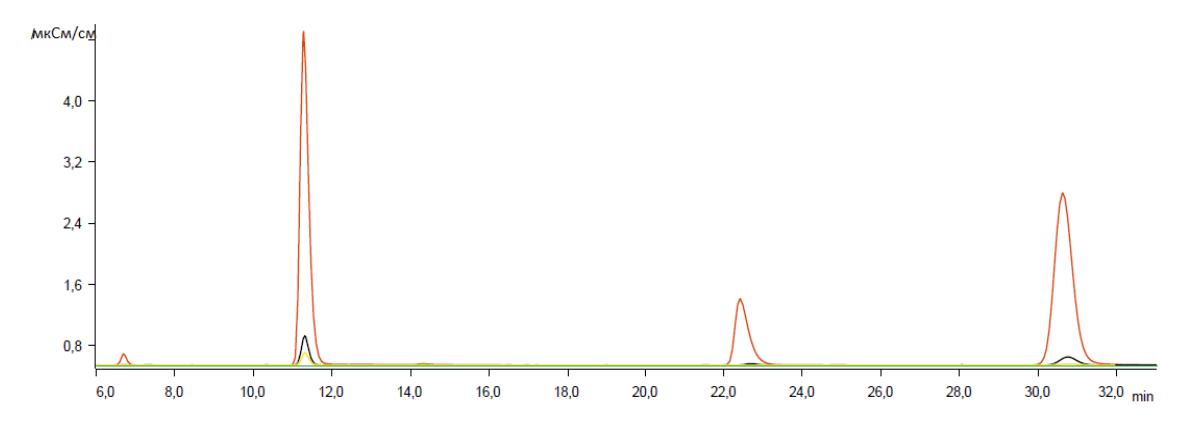
## РЕЗУЛЬТАТЫ И ОБСУЖДЕНИЕ

В ходе работы построены калибровочные кривые зависимости площади пика от концентрации иона и получены хроматограммы образцов природной и обессоленной воды, отобранной на разных ступенях ионирования. Результаты представлены на рис. 2, 3 и в таблицах 1–4.



*Рис. 2.* Сравнительная хроматограмма образцов воды. Определение содержания катионов (колонка Metrosep C4 - 250/4.0, элюент - HNO<sub>3</sub> 2,5ммоль/дм<sup>3</sup>):

- хроматограмма природной воды из р. Вилия;
- хроматограмма воды из р. Вилия, прошедшей 1-ую ступень Н-катионирования;
- троматограмма воды из р. Вилия, прошедшей 2-ую ступень Н-катионирования;
- хроматограмма воды из р. Вилия, прошедшей 3 ступени обессоливания



*Puc. 3.* Сравнительная хроматограмма образцов воды. Определение содержания анионов (колонка Metrosep A Supp 7 – 250/C4, элюент –  $Na_2CO_3$  6,4 ммоль/дм<sup>3</sup> и  $NaHCO_3$  2,0 ммоль/дм<sup>3</sup>):

- хроматограмма природной воды из р. Вилия;
- хроматограмма воды из р. Вилия, прошедшей 1-ую ступень ОН-анионирования;
- хроматограмма воды из р. Вилия, прошедшей 2-ую ступень ОН-анионирования;
- хроматограмма воды из р. Вилия, прошедшей 3 ступени обессоливания

Таблица 1

Содержание катионов в пробах воды р. Вилия				
Катион	Концентрация, мг/дм <sup>3</sup>			
Na <sup>+</sup>	23,775			
$K^{+}$	5,178			
$\mathrm{Mg}^{2+}$	42,170			
Ca <sup>2+</sup>	150,871			

 Таблица 2

 Содержание анионов в пробах воды р. Вилия

Анион	Концентрация, мг/дм <sup>3</sup>
Cl <sup>-</sup>	10,279
NO <sub>3</sub>	7,401
SO <sub>4</sub> <sup>2-</sup>	16,232

Как следует из таблиц 1 и 2, в образцах воды обнаружены  $\text{Cl}^-$ ,  $\text{NO}_3^-$ ,  $\text{SO}_4^{2^-}$ -анионы. Содержание  $\text{SO}_4^{2^-}$ -аниона не превышает ПДК в воде водоемов хозяйственно-питьевого назначения (500 мг/л). Содержание NO3—ионов составляет 7,401 мг/дм3, что не превышает ПДК (45 мг/л), однако наличие нитратов свидетельствует о загрязненности воды вследствие сельскохозяйственной деятельности [2]. Содержание ионов калия и натрия, хлорид-ионов также не превышает нормативы, установленные для пресных вод. Из катионов преимущественно содержатся кальций и магний, обуславливающие жесткость воды. Содержание ионов лития, фторид-, бромид- и фосфат-ионов в воде — ниже пределов обнаружения.

Таблица 3 Содержание катионов в пробах воды на разных ступенях обессоливания

	Содержа-	Содер-	Степень	Содер-	Степень	Содержа-	Степень
	ние в ис-	жание в	очистки,	жание в	очистки,	ние в воде,	очистки,
_ =	ходной	H1-	%	H2-	%	про-	%
И0	воде,	катиони-		катиони-		шедшей 3	
Катион	$M\Gamma/дM^3$	рованной		рованной		ступени	
1 2		воде,		воде,		обессоли-	
		$M\Gamma/дM^3$		$M\Gamma/дM^3$		вания,	
						$M\Gamma/дM^3$	
Na <sup>+</sup>	23,775	6,719	71,74	0,011	99,95	0,004	99,99
$K^{+}$	5,178	2,261	56,33	-	100	-	100
$\frac{Mg^{2+}}{Ca^{2+}}$	42,170	-	100	-	100	-	100
Ca <sup>2+</sup>	150,871	0,395	99,74	-	100	-	100

Степень очистки по ионам  $K^+$ ,  $Mg^{2+}$ ,  $Ca^{2+}$  уже после второй ступени H-катионирования составила 100 %. Степень очистки от ионов  $Na^+$  на данной стадии процесса обессоливания высокая, но недостаточная для применения воды в качестве теплоносителя. После прохождения воды через  $\Phi C \mathcal{I}$  остаточное содержание натрия составило 4 мкг/дм3, что меньше установленного значения 10 мкг/дм³ [5].

 Таблица 4

 Содержание анионов в пробах воды на разных ступенях обессоливания

	Содержа-	Содер-	Степень	Содер-	Степень	Содер-	Степень
	ние в ис-	жание в	очистки,	жание в	очистки,	жание в	очистки,
-	ходной	OH1-	%	OH2-	%	воде, про-	%
ИОН	воде,	аниони-		аниони-		шедшей 3	
Анион	$M\Gamma/дM^3$	рованной		рованной		ступени	
		воде,		воде,		обессоли-	
		$M\Gamma/дM^3$		мг/дм <sup>3</sup>		вания	
						$M\Gamma/дM^3$	
Cl <sup>-</sup>	10,279	0,641	93,76	0,178	98,27	0,003	99,97
NO <sub>3</sub>	7,401	-	100	-	100	-	100
$SO_4^{2-}$	16,232	0,647	96,01	-	100	-	100

Полная очистка от  $NO_3^-$ -ионов произошла уже на первой ступени OH-анионирования, от  $SO_4^{\ 2^-}$ -ионов — на второй. При этом содержание Cl $^-$ -ионов после двух ступеней ионирования составило 0,178 мг/дм $^3$ , что не соответствует нормативам для обессоленной воды, используемой для нужд AЭC ([Cl $^-$ ] не более 50 мкг/дм $^3$ ) [5]. Внедрение ФСД в цепочку ионирования позволяет достичь удовлетворительной степени очистки.

Таким образом, в результате работы определен ионный состав природной воды реки Вилии, смоделирована трехступенчатая схема химического обессоливания методом ионного обмена по аналогии со второй стадией ХВО, определена степень очистки природной воды на каждой ступени ионирования. По результатам исследования подготовлены методические указания к лабораторной работе для студентов специально-

сти «Химия высоких энергий», которые будут размещены на портале ядерных знаний учреждений образования Республики Беларусь [6].

## Литература

- 1. *Чиж В. А.*, Водоподготовка и водно-химические режимы ТЭС и АЭС. Минск. Высш. шк. 2010.
- 2. Кульский Л. А., Гороновский И. Т., Когоновский А. М., Шевченко М. А., Справочник по свойствам, методам анализа и очистке воды. Киев: Наукова думка, 1980.
- 3. *Шаповалова Е. Н., Пирогов А. В.*, Хроматографические методы анализа. М. МГУ. 2007.
- 4. *Жданова Г.В.* Особенности водоподготовки при получении технической воды для Южно-Украинской АЭС // Вода: химия и экология. 2011. №1. С. 19–23.
- 5. Воронов В.Н., Ларин Б.М., Сенина В.А., Химико-технологические режимы АЭС с водо-водяными энергетическими реакторами: уч. пос. для вузов. М. МЭИ. 2006.
- 6. *Charapitsa S., Dubovskaya I., Kimlenko I., etc.* Steps in creation of educational and research web-portal of nuclear knowledge BelNET, The International Symposium "Mathematics of XXI Century & Natural Science", St. Petersburg. 2015.

# ВЗАИМОДЕЙСТВИЕ НИТРОПРОИЗВОДНЫХ ДИ- И ТРИАЗОЛОВ С А-ГИДРОКСИЭТИЛЬНЫМИ РАДИКАЛАМИ

А. С. Скребкова, В. В. Гацко, Д. С. Пополитов, А. А. Мацкело

### **ВВЕДЕНИЕ**

Среди большого числа гомолитических превращений, которые могут реализовываться в биосистемах, длительное время основное внимание было сосредоточено на изучении механизмов реакций и патологического влияния процессов окисления биомолекул [1]. В то же время наряду с процессами окисления известны многочисленные типы реакций, для реализации которых присутствие кислорода не требуется. В первую очередь к таким процессам относятся превращения углеродцентрированных радикалов биомолекул [1, 2].

Из литературных данных по гомолитическим превращениям гидроксилсодержащих органических соединений следует, что их радикалы в отсутствие  $O_2$  вступают, главным образом, в бирадикальные процессы рекомбинации и диспропорционирования [2]. В том случае, когда радикальные агенты взаимодействуют с вицинальными диолами и родственными им соединениями, последние подвергаются фрагментации через стадию образования  $\alpha$ -гидроксилсодержащих углеродцентрированных радикалов ( $\alpha$ -ГУР) [3]. Реакции такого типа реализуются и при гомолитических превращениях более сложных биологически важных веществ и